

鳥取大学工学部 正員 ○ 勝見 雅  
 鳥取大学工学部 正員 藤村 尚  
 鳥取大学工学院 森本正和

## 1. 緒言

著者らは以前に斜面地盤上の基礎の支持力に関する、その支持力算定式を説明し基礎底面が含められた場合の実験結果との比較検討などについて発表したことがある<sup>1)</sup>。そこで今回は基礎底面があらわの場合について、特に基礎底面直下のくさび角に注目し、くさび角が支持力係数に与える影響、また支持力係数と斜面地盤の傾斜角との関係について検討を試みた。さらに Kötter 式による計算などを行なったので、それらについて記述する。

2. 斜面地盤に対する支持力算定式の説明<sup>1)</sup>

Terzaghi の支持力公式を斜面地盤に適用拡張して支持力算定式を導く方法に関するものはすでに報告した<sup>1)</sup>のと、ここではその結果のみを記述する。すなはち、極限荷重  $Q_d$  の式<sup>1)</sup>、また斜面地盤における支持力係数  $N_c$ 、 $N_g$ 、 $N_r$  を求めめる式は以下の如き次式<sup>1)</sup>である。

$$\left. \begin{aligned} Q_d &= 2(Q_r + Q_{qc}) + c \cdot B \tan(\delta - i) - \frac{1}{4} \gamma z \cdot B^2 \frac{\sin \delta}{\cos i \cdot \cos(\delta - i)} \\ N_c &= \frac{1}{\sin \phi \cdot \cos \phi} \{ (1 + \sin \phi) \exp(2w \tan \phi) - 1 \} + \tan(\delta - i) \\ N_g &= \frac{2}{B^2} \left\{ 2 \cdot \frac{Q_r}{\gamma z} - \frac{B^2 \cdot \sin \delta}{4 \cdot \cos i \cdot \cos(\delta - i)} \right\}, \quad N_r = \frac{1}{1 - \sin \phi} \exp(2w \tan \phi) \end{aligned} \right\} \quad (1)$$

ここで、 $\delta = 3\pi/4 + \phi/2 - i$ 、 $\delta$ ：基礎直下のくさび角<sup>2)</sup>、 $\delta$ ：外の記号の説明に間違えは文献 1) を参照されたい。このくさび角は Terzaghi などによると水平地表面を有する地盤では  $\delta = \phi$  とされるが、斜面地盤については  $\delta = \phi + \text{傾斜角}$  を加えた  $\delta = \phi + i$  の通り一般と考えられる。そこで今回は一般的にくさび角を  $\delta$  と表わし、支持力係数を求める際には  $\delta$  を上記両者に分けて計算を行なった。

## 3. 支持力係数の計算結果とその考察

表-1 は式(1)の式を用いて  $\delta = \phi$ 、 $\delta = \phi + i$  の場合について計算した結果、さらに斜面地盤に 3 次元軸対称問題としてのすべり線に関する基礎方程式から求められた基礎底面が含められた場合の支持力係数  $N_r$  の計算結果も一括表示したものである。同表に掲げた 2 次元と 3 次元による値を比較するに際しては、いわゆる形状係数を考慮しなければならないことはいうまでもない。また基礎方程式の説明に関する詳細は文献 2), 3) を参照されたい。なお斜面地盤の場合、出発点があることから表-1 支持力係数計算結果

の方程式の形が次式のように異なる。 $i < \phi$

$$\left. \begin{aligned} \frac{\partial \sigma_r}{\partial r} + \frac{\partial \sigma_z}{\partial z} + \frac{\sigma_r - \sigma_z}{r} &= \gamma z \sin i \\ \frac{\partial \sigma_z}{\partial r} + \frac{\partial \sigma_z}{\partial z} + \frac{\tau_{rz}}{r} &= \gamma z \cos i \end{aligned} \right\} \quad (2)$$

図-1 (a)～(c) は  $\delta = \phi$ 、 $\delta = \phi + i$  の両者について、並んで支持力係数  $N_c$ 、 $N_g$ 、 $N_r$  と傾斜角  $i$  の関係を図示したものである。これらの図より  $N_c$ 、 $N_g$  については、 $\delta = \phi$  の場合はほとんど傾斜角の影響を受けられないと、しかし、 $N_r$  については傾斜角の増加とともに減少

$\phi$ °	$i$ °	式(1)		Kötter	
		$\delta = \phi$	$\delta = \phi + i$	2 次元	$Q_d = Q_s$
10	0	0.46	0.50	0.555	0.203 0.168
	10	0	0.17	0.127	0.046 0.030
	20	0	0	0	0 0
20	0	3.53	3.58	3.07	1.24 0.821
	10	1.49	2.35	2.09	0.86 0.546
	20	0.18	0.97	0.97	0.37 0.184
30	0	19.0	19.1	15.0	6.99 3.33
	10	9.26	12.4	12.75	6.12 —
	20	3.98	7.20	—	4.42 —

する割合が大きい傾向

を示してある。

$i = 10^\circ$ ,  $\phi = \text{中}$  の時の  
支持力係数  $N_c, N_g, N_p$   
と内部摩擦角中の関係を  
傾斜角  $i$  を  $10^\circ$  メータ  
として示してあるのが図-1  
である。同図は全般せん  
断破壊の場合であるが、

水平地表面を有する地盤

を対象とした Terzaghi と同様に  $\frac{2}{3} \cdot \tan \phi = \tan \phi_i$  上し  
て決定される式式(1)の中に適用すれば、局部せん断破壊  
の場合の支持力係数も算出できることがわかる。

#### 4. 実験結果との考察

模型実験に供した試料、実験方法などは基礎底面にサンド  
 $10-10$ -AA-40 粒を用いており、基礎底面を粗とした以外はすぐ  
に発表したものと同じである<sup>1)</sup>。式(1)のように諸  
量を既定すれば算定式より模型地盤 ( $\phi = 36.19'$ ,  $C = 7.0\%/\text{cm}^2$ ) に対

する支持力係数  $N_c, N_p$  を求め、円形基礎の場合の形状係数  $\alpha = 1.3$ ,  
 $\beta = 0.6$  を用いて得られた支持力の計算結果と実験結果を比較したのが  
図-3 である。

一方、今回ののような標準地盤の支持力は傾斜による影響はほとんどなく、前回得られたためらかな場合と今回のあらわい場合の支持力実験値の比を求めたところ各傾斜角を過ぎ、 $1:1.6$  なる一定の値を得た。この結果とためらかな場合とあらわい場合の  $N_p$  の比は  $1:2$  である<sup>4)</sup> といわれてこられる。これを比較するとこの比に幾分差が生じてゐるが、これは傾  
斜の影響が幾分含まれていたことと、今回あらわい基礎としたものが完  
全にあらくはなったことが主な原因であると思われる。また、図-4 は  $i = 0^\circ$  に  
に対する値を 100 として斜面地盤の傾斜角による支持力の減少率を図示したものである。同図によると、 $i > 10^\circ$  に対し  $i = \text{中}$  の場合の計算値に比べ実験値の減少率の方が大きい傾向がみられる。

なお、式(1)は水平地表面を有する地盤を対象とした基礎底面があらわい場合の  
Terzaghi の支持力公式を斜面地盤に適用拡張したものであるが、今後引き続き基礎  
底面があらわい場合についてこの支持力理論を同様な方法で説明し、図-2 のよ  
うな支持力係数を求める図表などを提示する予定である。

#### 参考文献

- 1) 藤見雅・藤村尚・森吉伴：斜面地盤を対象とした基礎の支持力に関する、土木学会第31回年次学術講演会概要集 III-203, pp.51.10. P. 10.
- 2) 藤見雅：3 次元軸対称問題における支持力理論、第4回国土工学研究発表会論文集、IV-25, pp. 44. 6, pp. 555 ~ 560.
- 3) 藤見雅：中間支持力に注目して円形剛基盤の支持力に関する研究、土木学会論文集、第252号、pp. 51.8, pp. 73 ~ 85.
- 4) 山口柏木：土質力学、技報堂、pp. 44.8 pp. 267 ~ 272.

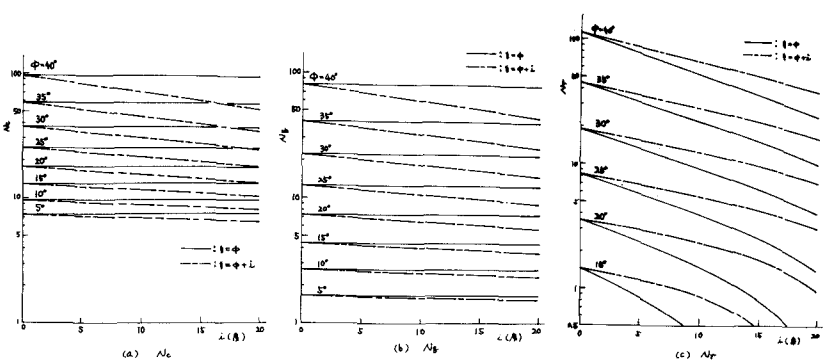


図-1 支持力係数と傾斜角  $i$  の関係

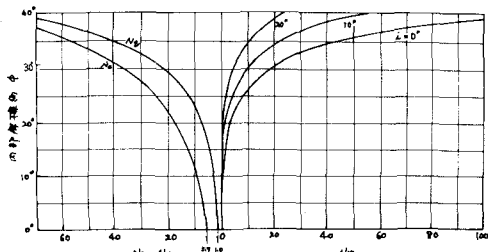


図-2 支持力係数と内部摩擦角の関係

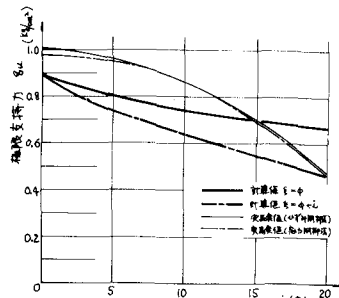


図-3  $N_p - i$  の関係

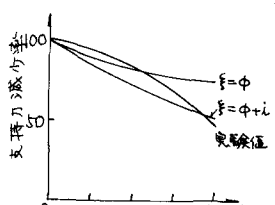


図-4 支持力減少率と傾斜角の関係